

طراحی و بهینه‌سازی آنتن شبپوری شیاردار به کمک الگوریتم وراثتی و تطبیق مودی

هادی فائزی

پژوهشگر مجتمع دانشگاهی برق الکترونیک - دانشگاه صنعتی مالک اشتر

جلیل راشد محصل

استاد دانشکده مهندسی برق و کامپیوتر - پردیس دانشکده های فنی - دانشگاه تهران

(تاریخ دریافت ۸۳/۲/۱۲، تاریخ دریافت روایت اصلاح شده ۸۳/۹/۷، تاریخ تصویب ۸۳/۱/۲۷)

چکیده

در این مقاله روشی جهت طراحی و بهینه سازی عملکرد آنتن شبپوری شیاردار به کمک تطبیق مودی و الگوریتم وراثتی ارائه شده است. برای این منظور یک آنتن شبپوری شیاردار با پروفایل مربعی سینوسی طراحی شده و عملکرد یک آنتن شبپوری شیاردار دیگر در باند X که قبلًا برای تغذیه یک آنتن بازتابنده منحرف از مرکز طراحی شده، بهبود یافته است. برای تحلیل این آنتن‌ها از روش تطبیق مودی استفاده شده و پارامترهای مختلف آنها جهت کم کردن تلف برگشتی و قطبی شدگی متقطع توسط الگوریتم وراثتی بهینه شده‌اند. در نهایت سه طرح بهینه برای آنتن مورد نظر ارائه شده است. پارامترهای هندسی و عملکرد این سه آنتن در جدولی با آنتن طراحی شده به روش متداول مقایسه شده‌اند.

واژه‌های کلیدی: آنتن شبپوری شیاردار، الگوریتم وراثتی، تطبیق مودی

مقدمه

می‌باشد. در صورتیکه بتوان اهداف مسئله را بصورت تابعی تعریف نمود که بهترین جواب نقطه کمینه یا بیشینه آن تابع باشد به راحتی می‌توان با اعمال الگوریتم وراثتی به بهترین جواب رسید^[۴]. الگوریتم وراثتی بر خلاف الگوریتم‌های متعارف که بدبناه کمینه یا بیشینه محلی برای یک تابع هستند در سراسر دامنه تابع مورد نظر به جستجوی نقطه کمینه یا بیشینه می‌پردازد و اغلب بعد از تمام شدن عملیات جستجو به جای یک نقطه به چند نقطه بهینه می‌رسد.

در این مقاله با کمک گرفتن از الگوریتم وراثتی، یک آنتن شبپوری شیاردار طراحی شده و عملکرد یک شبپوری شیاردار دیگر که قبلًا با روش‌های متعارف طراحی شده [۱۶,۵]، بهبود یافته است. این شبپوری بعنوان تغذیه یک بازتابنده منحرف از مرکز^۳ به کار می‌رود. در پایان سه طرح بهینه برای این منظور پیشنهاد می‌گردد. باز شدگی بین ناحیه گلوگاه تا روزنه در اولین طرح پیشنهادی به شکل مربع سینوسی، در دومین طرح مانند آنتن طراحی شده به روش‌های متداول، به صورت خطی و در سومین طرح به صورت نامنظم و تصادفی می‌باشد.

آننت‌های شبپوری^۱ دیر زمانی است که در ارتباطات مخابراتی استفاده می‌شوند. در این میان آنتن شبپوری شیاردار به خاطر مزایای خاصی از قبیل تقارن محوری پرتو، مؤلفه پایین قطبی شدگی متقطع و سطح پایین گلبرگ جانبی بیش از بقیه مورد توجه طراحان آنتن قرار گرفته است^[۱]. این آنتن‌ها بهترین انتخاب بعنوان تغذیه آنتن‌های بشقابی بزرگ در ارتباطات ماهواره‌ای و نجوم رادیویی و سنجش از دور می‌باشند. علاوه بر آن نیز در بسیاری از مواقع به تنها یی در کاربردهایی مانند ایجاد پوشش سراسری، بر روی ماهواره‌ها مورد استفاده قرار می‌گیرند^[۲]. برای رسیدن به طرحی بهینه از این آنتن‌ها پارامترهای مختلفی از قبیل ساختار هندسی شیارها در طول شبپوری، نحوه باز شدگی شبپوری و قطر روزنۀ شبپوری باید به درستی تعیین شوند^[۳,۱]. به این ترتیب طراحی یک آنتن شبپوری شیاردار را می‌توان معادل حل یک مسئله چند پارامتری در نظر گرفت که برای رسیدن به بهترین جواب باید هر کدام از این پارامترها به درستی مشخص شوند. یک روش مفید جهت حل مسائل چند پارامتری، الگوریتم وراثتی^۲

روش تطبیق مودی

روش می‌توان بقیه موجبرها با سطح مقطعهای مختلف را نیز تحلیل نمود. در مراجع [۳] و [۱۲] تطبیق مودی کروی برای ناپیوستگی‌های موجبرهای مخروطی بررسی شده است. تطبیق مودهای استوانهای را می‌توان برای تحلیل موجبرهای شیاری یا برای تحلیل شیپوری‌های با زاویه باز شدگی کوچک به کار برد. برای تحلیل شیپوری‌های با زاویه باز شدگی بزرگ باید از تطبیق مودهای کروی استفاده کرد.

ناپیوستگی موجبر استوانهای را می‌توان مانند شکل (۱) بیان نمود. در این شکل یک موجبر با شعاع کوچکتر به موجبری با شعاع بزرگتر متصل شده است. در ناحیه اول میدانهای مماسی E_{I,H_I} در $z=0$ با توجه به حل مodal به صورت زیر بیان می‌شوند:

$$\begin{aligned} E_I &= \sum_{m=1}^M (A_I(m) + B_I(m)) e_I(m) \\ H_I &= \sum_{m=1}^M (A_I(m) - B_I(m)) h_I(m) \end{aligned} \quad (1)$$

که در آن $e_I(m), h_I(m)$ میدانهای modal مماس و $A_I(m), B_I(m)$ ضرایب modal جلورونده و منعکس شونده هستند که باید مشخص شوند. تعداد کل مودهای M نیز باید به گونه‌ای انتخاب شود که از همگرایی پاسخ مطمئن شویم. به طور مشابه برای ناحیه دوم نیز در $z=0$ برای میدانهای مماسی داریم:

$$\begin{aligned} E_{II} &= \sum_{n=1}^N (A_{II}(n) + B_{II}(n)) e_{II}(n) \\ H_{II} &= \sum_{n=1}^N (A_{II}(n) - B_{II}(n)) h_{II}(n) \end{aligned} \quad (2)$$

که $A_{II}(n), B_{II}(n)$ ضرایب modal جلو رونده و منعکس شده از محل ناپیوستگی با نگاه به محل اتصال در $z=0$ هستند.

اگر مساحت سطح مقطع موجبر با شعاع $a_I(a_{II})$ را بنامیم، با استفاده از خاصیت تعادل بین مودهای موجبری و برقراری پیوستگی میدانها در قسمت S_I و اعمال شرایط مرزی در قسمت $S_{II} - S_I$ (با فرض $S_I > S_{II}$) به معادلات ماتریسی زیر می‌رسیم:

$$\begin{aligned} P[A_I + B_I] &= Q[A_{II} + B_{II}] \\ P^T[B_{II} - A_{II}] &= R[A_I - B_I] \end{aligned} \quad (3)$$

برای تحلیل هر شیپوری تعریف شده توسط الگوریتم و راثتی از روش تطبیق مودی^۴ استفاده شده است [۳ و ۶]. روش تطبیق مودی روشی بسیار قوی و دقیق در تحلیل شیپوری‌های مخروطی می‌باشد، زیرا قادر است که میدانهای عرضی روزنه را با در نظر داشتن هر گونه تبدیل مود در طول شیپوری محاسبه کند. اساس این تکنیک تقسیم طولی شیپوری به موجبرهای کوتاه استوانهای است که مشخصات انتشاری آنها ریشه‌های توابع بسل و مشتقهای آنها می‌باشد. از آنجاییکه هر اتصال یک ناپیوستگی پله‌ای بین دو موجبر با دیواره هموار است، تطبیق مودی در هر ناپیوستگی اعمال می‌شود تا توان تزویج شده به قسمت بعدی بدست آید. بنابراین بقاء توان در هر اتصال حفظ می‌شود که در اینصورت دامنه هر کدام از مودهای در خروجی ناپیوستگی می‌تواند نسبت به دامنه مودهای ورودی اتصال بیان شود. تعداد مودهای میرا و منتشر شونده مورد نیاز جهت توصیف کل توان با سعی و خطا بدست می‌آید. برتری تطبیق مودی از آنجا ناشی می‌شود که دامنه مودها را می‌توان به صورت مؤلفه‌های ماتریس پراکندگی بیان نمود. بنابراین هر اتصال در طول شیپوری ماتریس پراکندگی خودش را دارد و ماتریس پراکندگی کل شیپوری با پشت سر هم قرار دادن متوالی ماتریسهای جزئی بدست می‌آید. به این ترتیب ماتریس پراکندگی کلی شامل ضرایب انعکاس ورودی و ضرایب انتقال خروجی است که معرف تلف برگشتی و ضرایب میدانهای روزنه است. در نتیجه برای هر مود در روزنه شیپوری ضرایب وزنی مختلطی نسبت به میدانهای modal موجبر ورودی بدست می‌آید. آنگاه میدانهای تابشی شیپوری با تبدیل فوریه گرفتن از میدانهای روزنه محاسبه می‌شوند.

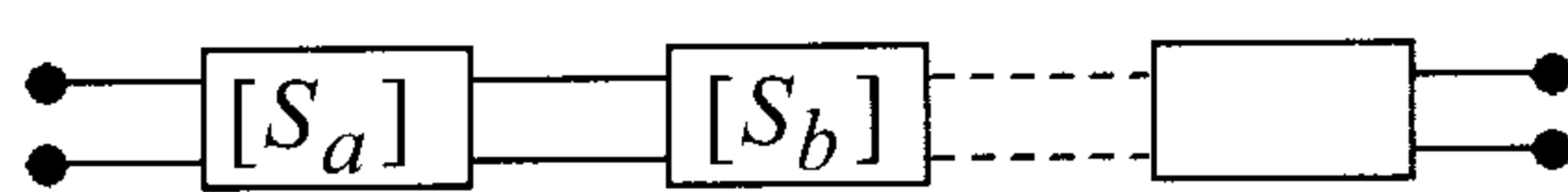
روش تطبیق مودی برای اولین بار توسط وکسلر^۵ [۷] به ناپیوستگی‌های موجبری اعمال شد و بعد از آن افراد زیادی در این زمینه فعالیت نمودند. استفاده از تطبیق مودی در تحلیل موجبرهای شیاری برای اولین بار توسط جیمز^۶ [۶] پیشنهاد شد، و تا کنون مقالات زیادی منتشر شده‌اند که برای تحلیل شیپوری از روش ارائه شده توسط جیمز بهره برده‌اند [۸، ۹، ۱۰، ۱۱ و ۱۶]. آنچه که در اینجا توضیح داده می‌شود تطبیق مودی برای ناپیوستگی‌های موجبر استوانهای با سطح مقطع دایروی است. با همین

این معادلات ماتریس پراکندگی را برای ناپیوستگی در شعاع یک موجبر دایروی به قسمی که انتقال از موجبر کوچکتر به بزرگتر باشد، ارائه می‌دهد و اگر انتقال از موجبر بزرگتر به کوچکتر باشد همان محاسبات و معادلات به کار برده می‌شوند و فقط در این حالت ماتریس پراکندگی به صورت زیر بیان می‌شود:

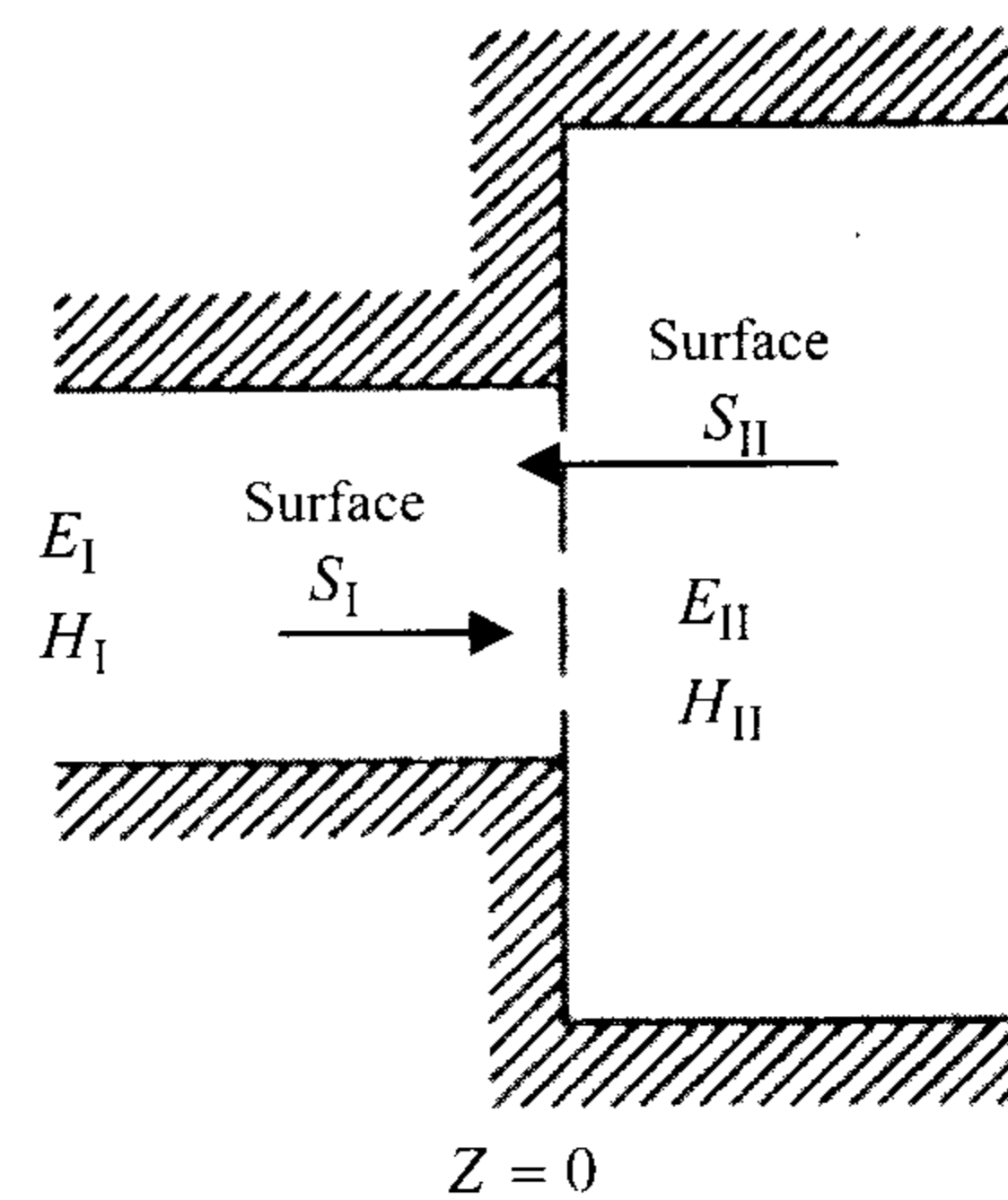
$$S = \begin{bmatrix} S_{22} & S_{21} \\ S_{12} & S_{11} \end{bmatrix} \quad (8)$$

انتخاب تعداد مودها و نسبت آنها یعنی M/N یک مسئله اساسی است و چه بسا انتخاب نادرست آن علی رغم همگرایی، به پاسخی نادرست منتهی شود. می‌توان گفت شرط $\frac{M}{N} = \frac{a_I}{a_{II}}$ یک شرط کافی برای همگرایی پاسخ به مقدار درست است. ولی با استناد به مرجع [۳] می‌توان M, N را مساوی در نظر گرفت به شرطی که به اندازه کافی بزرگ انتخاب شوند) حدود ده تا دوازده برابر قطر روزنه نسبت به طول موج در آنتن‌های شیاردار). بین ناپیوستگی‌های سطح مقطع، موجبرهای همواری هستند که شکافها و زبانه‌های یک موجبر شیاری را تشکیل می‌دهند. بنابراین دانستن ماتریس پراکندگی طولی از یک موجبر نیز لازم است. برای یک موجبر به طول l که N مود در داخلش وجود دارد عناصر ماتریس پراکندگی عبارتند از: $S_{11} = S_{22} = V$ و $S_{12} = S_{21} = 0$ که V یک ماتریس قطری $N \times N$ است. عناصر V عبارتند از: $V_{nn} = \exp(-\gamma_n l)$ که γ_n ثابت انتشار مود n ام در داخل موجبر می‌باشد.

جهت دستیابی به ماتریس پراکندگی کل شیپوری لازم است که ماتریسهای پراکندگی ناپیوستگی‌ها و بخش‌های هموار بین آنها به طور متوالی پشت سر هم قرار گیرند تا ماتریس کلی S^C حاصل شود. مطابق شکل (۲) می‌توان ماتریسهای پراکندگی را به ترتیب از چپ به راست با یکدیگر ترکیب نمود تا به ماتریس کلی رسید. عبارت (۹) روند ترکیب دو ماتریس را بیان می‌کند.



شکل ۲: ترکیب متوالی ماتریسهای پراکندگی.



شکل ۱: نمایی از یک ناپیوستگی موجبری و میدانهای دو طرف آن.

که در آن A_I, B_I ماتریسهای ستونی با M عنصر مجھول شامل ضرایب مodal $(A_I(1) \dots A_I(m))$ و $(B_I(1) \dots B_I(m))$ هستند و به طور مشابه A_{II}, B_{II} ماتریسهای ستونی با N عنصر شامل ضرایب مجھول مodal در ناحیه II هستند. ماتریس Q یک ماتریس قطری $N \times N$ و R نیز یک ماتریس قطری $M \times M$ می‌باشند. عناصر این سه ماتریس به صورت زیر به دست می‌آیند.

$$\begin{aligned} P_{nm} &= \int_{S_I} e_I(m) \times h_{II}(n).ds \\ Q_{nn} &= \int_{S_{II}} e_{II}(n) \times h_{II}(n).ds \\ R_{mm} &= \int_{S_I} e_I(m) \times h_I(m).ds \end{aligned} \quad (4)$$

با مرتب سازی دوباره این عناصر و جایگزین نمودن آنها در فرمولبندی ماتریس پراکندگی S که بصورت زیر تعریف می‌شود:

$$B = S.A \quad (5)$$

و در آن داریم:

$$B = \begin{bmatrix} B_I \\ B_{II} \end{bmatrix} \quad A = \begin{bmatrix} A_I \\ A_{II} \end{bmatrix} \quad S = \begin{bmatrix} S_{11} & S_{12} \\ S_{21} & S_{22} \end{bmatrix} \quad (6)$$

عناصر ماتریس پراکندگی به صورت زیر بدست می‌آیند:

$$\begin{aligned} S_{11} &= [R + P^T Q^{-1} P]^{-1} [R - P^T Q^{-1} P] \\ S_{12} &= 2[R + P^T Q^{-1} P]^{-1} P^T \\ S_{21} &= 2[Q + PR^{-1} P^T]^{-1} P \\ S_{22} &= -[Q + PR^{-1} P^T]^{-1} [Q - PR^{-1} P^T] \end{aligned} \quad (7)$$

$$\begin{aligned}
 & \text{برای مودهای } TM_{1n} \\
 e_r &= -j\eta \bar{\gamma}_{1n} J_1(K_{1n}r) \sin\phi \\
 e_\phi &= -j\eta \bar{\gamma}_{1n} \frac{J_1(K_{1n}r)}{K_{1n}r} \cos\phi \\
 h_r &= -\frac{J_1(K_{1n}r)}{K_{1n}r} \cos\phi \\
 h_\phi &= J_1'(K_{1n}r) \sin\phi \\
 K_{1n} &= X_{1n}/a ; J_1(X_{1n}) = 0 \\
 k &= \omega\sqrt{\mu_0\varepsilon_0} = \frac{2\pi}{\lambda_0} \\
 \bar{\gamma}_{1n} &= \left[\left(\frac{X_{1n}}{(ka)} \right)^2 - 1 \right]^{1/2}
 \end{aligned} \tag{12}$$

با جاگذاری این میدانها در معادلات (۴) و با بهره گرفتن از انتگرال توابع بسل که بصورت تحلیلی قابل حل هستند [۱۳ و ۱۴]، ضرایب تزویج توان با در نظر گرفتن تمام مودهای TE و TM به صورت زیر به دست می‌آیند: الف) اگر در هر دو محیط I و II مودهای TE باشند داریم:

$$P_{nm} = -\frac{j\eta \pi \bar{\gamma}_{1n} X'_{1m} J_1(X'_{1m}) J'_1(X'_{1n} a_I/a_{II})}{(X'_{1m}/a_I)^2 - (X'_{1n}/a_{II})^2} \tag{13}$$

ب) اگر در هر دو محیط I و II مودهای TM باشند داریم:

$$P_{nm} = \frac{j\eta \pi \bar{\gamma}_{1m} (X_{1n} a_I/a_{II}) J_0(X_{1m}) J_1(X_{1n} a_I/a_{II})}{(X_{1m}/a_I)^2 - (X_{1n}/a_{II})^2} \tag{14}$$

ج) اگر در محیط I مودهای TE و در محیط II مودهای TM داشته باشیم داریم:

$$P_{nm} = \frac{\eta \pi J_1(X'_{1m}) J_1(X_{1n} a_I/a_{II})}{(X'_{1m}/a_I)(X_{1n}/a_{II})} \tag{15}$$

د) اگر در محیط I مودهای TM و در محیط II مودهای TE داشته باشیم داریم عناصر ماتریس معنی P_{nm} برابر صفر می‌شوند.

توابع تزویج خودی مودهای TE

$$\begin{aligned}
 R_{mm} &= -\frac{j\eta \pi \bar{\gamma}_{1m} (X'^2_{1m} - 1) J_1^2(X'_{1m})}{2(X'_{1m}/a_I)^2} \\
 Q_{nn} &= -\frac{j\eta \pi \bar{\gamma}_{1n} (X'^2_{1n} - 1) J_1^2(X'_{1n})}{2(X'_{1n}/a_{II})^2}
 \end{aligned} \tag{16}$$

$$\begin{aligned}
 S_{11}^C &= S_{12}^a \left[I - S_{11}^b S_{22}^a \right]^{-1} S_{11}^b S_{21}^a + S_{11}^a \\
 S_{12}^C &= S_{12}^a \left[I - S_{11}^b S_{22}^a \right]^{-1} S_{12}^b \\
 S_{21}^C &= S_{21}^b \left[I - S_{22}^a S_{11}^b \right]^{-1} S_{21}^a \\
 S_{22}^C &= S_{21}^b \left[I - S_{22}^a S_{11}^b \right]^{-1} S_{22}^a S_{12}^b + S_{22}^b
 \end{aligned} \tag{9}$$

که I ماتریس واحد می‌باشد. بنابراین با شروع از اولین ناپیوستگی و موجبر کوتاه بعد از آن و ترکیب متوالی ماتریسها تا آخر شبپوری به ماتریس پراکندگی کل شبپوری می‌رسیم.

با در نظر گرفتن انتشار مود غالب TE_{11} در موجبر دایروی ورودی با توجه به فرمولبندی (۵) برای A_I, A_{II} داریم:

$$A_I(1) = 1, \quad A_I(m) = 0 \quad \text{for } m > 1 \quad \text{and} \quad A_{II} = 0 \tag{10}$$

بنابراین مودهای برگشتی از $B_I = S_{11}^C A_I$ و مودهای انتقالی از $B_{II} = S_{21}^C A_I$ بدست می‌آیند. B_{II} معرف ضرایب مودهای میدان روی روزنه است و تلف برگشتی بر حسب dB برابر است با $20 \log B_I(1)$.

میدانهای داخل موجبر و حل انتگرالهای تزویج توان
بنابر آنچه گفته شد اگر فرض کنیم در موجبر ورودی فقط مود TE_{11} وجود داشته باشد از آنجائیکه ساختار هندسی موجبر فقط در راستای r دستخوش تغییر می‌شود و در راستای ϕ تغییری ندارد، در هر کدام از ناپیوستگی‌ها فقط مودهای TE_{1n} و TM_{1n} تحریک می‌شوند. بنابراین توزیع میدانها در دو طرف ناپیوستگی برای مودهای TM_{1n} و TE_{1n} می‌تواند به ترتیب به صورت عبارات (۱۱) و (۱۲) باشد.

$$\begin{aligned}
 & \text{برای مودهای } TE_{1n} \\
 e_r &= \eta \frac{J_1(K_{1n}r)}{K_{1n}r} \sin\phi \\
 e_\phi &= \eta J_1'(K_{1n}r) \cos\phi \\
 h_r &= j\bar{\gamma}_{1n} J_1'(K_{1n}r) \cos\phi \\
 h_\phi &= -j\bar{\gamma}_{1n} \frac{J_1(K_{1n}r)}{K_{1n}r} \sin\phi \\
 K_{1n} &= X'_{1n}/a ; J'_1(X'_{1n}) = 0 \\
 k &= \omega\sqrt{\mu_0\varepsilon_0} = \frac{2\pi}{\lambda_0} \\
 \bar{\gamma}_{1n} &= \left[\left(\frac{X'_{1n}}{(ka)} \right)^2 - 1 \right]^{1/2}
 \end{aligned} \tag{11}$$

گرفتن توان جریانهای مغناطیسی و الکتریکی به شرح زیر است.

الف) برای مودهای TE :

$$\begin{aligned} E_\theta^n &= \frac{ja^2\eta ke^{-jkr}}{2r} [1 - j\bar{\gamma}_n \cos\theta] \frac{J_1(X'_{1n})J_1(z)}{X'_{1n}z} \sin\phi \\ E_\phi^n &= \frac{ja^2\eta ke^{-jkr}}{2r} [\cos\theta - j\bar{\gamma}_n] \frac{X'_{1n}J_1(X'_{1n})J'_1(z)}{X'^2_{1n} - z^2} \cos\phi \end{aligned} \quad (18)$$

ب) برای مودهای TM :

$$\begin{aligned} E_\theta^n &= \frac{ja^2\eta ke^{-jkr}}{2r} [j\bar{\gamma}_n - \cos\theta] \frac{zJ_1(z)J'_1(X'_{1n})}{X'^2_{1n} - z^2} \sin\phi \\ E_\phi^n &= 0 \end{aligned} \quad (19)$$

در عبارات فوق n بیانگر n امین مود روزنی است و $z = kasin\theta$ می‌باشد. میدانهای تابشی شیپوری با جمع آثار میدانهای تابشی تک تک مودها حاصل می‌شود. البته باید در نظر داشت که ضریب هر مود در روزنی در عبارات (18) و (19) ضرب می‌شود تا میدان تابشی آن مود محاسبه گردد. بر اساس مطالعه گفته شده یک برنامه کامپیوتی نوشته شده است که با دریافت ساختار هندسی شیپوری تلف برگشتی و میدانهای تابشی آن را محاسبه می‌کند. صحت این برنامه با نرم افزار HFSS تایید شده است [۱۷].

پارامترهای بهینه سازی

با توجه به نوع مسئله و درجه آزادی‌های موجود در آن می‌توان به طرحهای مختلفی رسید. در طراحی آنتن شیپوری شیاردار مهمترین پارامترهای طراحی عبارتند از: طول شیپوری یا نحوه بازشدنی آن، هندسه شیارها در ناحیه گلوگاه و طول شیپوری، قطر روزنی و قطر گلوگاه شیپوری. با توجه به ملزمات طراحی می‌توان برخی از پارامترهای فوق را از روی جداول و منحنی‌های موجود معین کرد و بقیه پارامترها را به کمک الگوریتم وراثتی بدست آورد. برای طراحی شیپوری با پروفایل^۷ مربع سینوسی هشت پارامتر جهت بهینه سازی انتخاب می‌شوند. معادله این پروفایل به صورت زیر است [۱]:

$$r(z) = r_{11} + (r_{12} - r_{11}) \left[\frac{z}{L} (1 - A) + A \sin^2 \left(\frac{\pi}{2} \frac{z}{L} \right) \right] \quad (20)$$

شکل (۳) پروفایل حاصله را نشان می‌دهد. A مقدار

توابع تزویج خودی برای مودهای TM :

$$\begin{aligned} R_{mm} &= -\frac{1}{2} j\eta \pi \bar{\gamma}_{1m} a_1^2 J_0^2(X_{1m}) \\ Q_{nn} &= -\frac{1}{2} j\eta \pi \bar{\gamma}_{2n} a_2^2 J_0^2(X_{2n}) \end{aligned} \quad (17)$$

اگر مودها را بر اساس ریشه‌های توابع بسل مربوطه مرتب کنیم مودهای فرد، مودهای TE و مودهای زوج، مودهای TM خواهند بود. با توجه به روش گفته شده در فوق، برنامه‌ای نوشته شده است که با دریافت ساختار هندسی آنتن شیپوری و بهره گرفتن از زیر برنامه‌هایی که ماتریس‌های پراکندگی ناپیوستگی و موجبر به طول محدود را محاسبه می‌نمایند، کل ماتریس پراکندگی و در نتیجه تلف برگشتی و ضرایب مodal میدانهای روزنی را محاسبه می‌نماید. بنابراین با پایان یافتن حل ناحیه داخلی شیپوری نوبت به حل ناحیه خارجی و محاسبه میدانهای تشعشعی می‌رسد که در ادامه به آن می‌پردازیم.

تشعشع از روزنی شیپوری

بعد از آن که میدانهای روی روزنی مشخص شدند به چند روش می‌توان الگوهای تشعشعی آنتن شیپوری را محاسبه نمود. ساده‌ترین روش گرفتن تبدیل فوریه از میدانهای روزنی است. در این روش ابتدا جریان مماسی معادل روی صفحه روزنی محاسبه می‌شود و سپس تشعشع این جریانها در محیط $z > 0$ محاسبه می‌شود. برای این منظور می‌توان روزنی را در یک صفحه هادی الکتریکی فرض نمود و فقط تشعشع میدانهای الکتریکی (جریانهای معادل مغناطیسی) را محاسبه نمود یا روزنی را در یک صفحه هادی مغناطیسی فرض کرده و فقط تشعشع میدانهای مغناطیسی (جریانهای معادل الکتریکی) را محاسبه کرد. یک روش دیگر اینست که جریانهای معادل الکتریکی و جریانهای معادل مغناطیسی را با هم در نظر بگیریم که در اینصورت دیگر فرض وجود روزنی در یک صفحه هادی اعتباری ندارد. محاسبات انجام شده برای رسیدن به میدانهای تابشی بر مبنای روشی است که در آن میدانهای تابشی برای مودهای TE و TM به طور جداگانه محاسبه شده است [۱۵] و توزیع میدانها بر روی روزنی برای هر کدام از مودها مطابق با روابط (۱۱) و (۱۲) در نظر گرفته شده است. پس از انجام محاسباتی طولانی میدانهای تابشی شیپوری برای هر کدام از مودها با در نظر

شیپوری مورد نظر به صورت مربع سینوسی است (معادله ۲۰) که پارامترهای بهینه سازی آن مانند شیپوری طراحی شده قبل می‌باشد و فقط شعاع روزنه شیپوری به عنوان پارامتر هشتم به آنها اضافه شده است. جدول (۲) این پارامترها، کرانهای بالا و پائین و تعداد بیتهای هر پارامتر را نشان می‌دهد.

در دومین طرح، یعنی شیپوری شیاردار با باز شدگی خطی پارامترهای انتخاب شده جهت بهینه سازی همان پارامترهای جدول (۲) می‌باشند و فقط پارامتر A حذف شده است. محدوده تغییر و تعداد بیتهای هر پارامتر نیز مانند جدول (۲) انتخاب شده‌اند.

در حالت سوم ابعاد هر کدام از موجبرهایی که مولد شکاف یا زبانه هستند به طور مستقل از بقیه بهینه می‌شود. در این حالت با توجه به طرح بهینه نشده، تعداد شکافها در طول شیپوری ثابت فرض می‌شود. بردار پارامترهای بهینه شونده به صورت عبارت (۲۱) می‌باشد.

$$X = (a_1, a_2, \dots, a_n : l_1, l_2, \dots, l_n) \quad (21)$$

که در آن a_i, l_i به ترتیب بیانگر طول و شعاع موجبری هستند که شکاف یا زبانه آن را بوجود آورده است. از آنجایی که کل ۱۵ شکاف در طول شیپوری وجود دارد، بردار بهینه شونده ۶۰ عضو خواهد داشت. کرانهای بالا و پائین برای شعاع و طول موجبرهای کوچک به صورت زیر مشخص می‌شوند.

$$\begin{aligned} 0.95a_{0i} < a_i < 1.05a_{0i} \\ 0.4l_{0i} < l_i < 1.1l_{0i} \end{aligned} \quad (22)$$

که در آن a_{0i}, l_{0i} به ترتیب طول و شعاع بخش آن از شیپوری اولیه هستند. برای داشتن دقیق کافی هر کدام از این پارامترها با ۱۰ بیت دودویی کد شده‌اند.

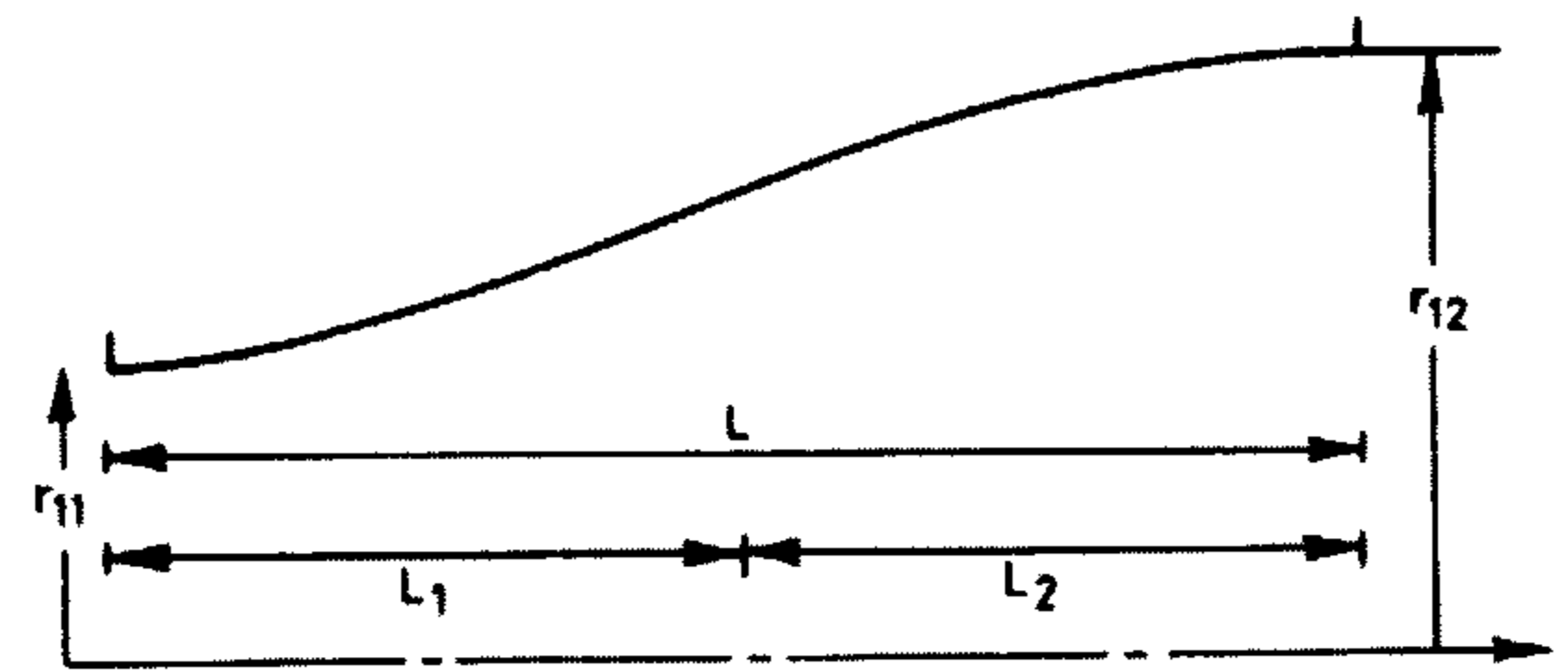
برای هر کدام از آنستهای مورد نظر یک تابع هدف تعريف شده که الگوریتم وراشتی سعی در کمینه کردن آن دارد. در بخش بعد این توابع هدف را بررسی می‌کنیم.

نتایج عددی

الف- طراحی یک شیپوری شیاردار با پروفایل مربع سینوسی

در این قسمت قصد داریم یک آنلن شیپوری شیاردار با پروفایل مربع سینوسی طراحی نماییم که معادله

سینوسی شدن را تعیین می‌کند، $A=0$ منجر به بازشدگی خطی و $A=1$ منجر به بازشدگی مربع سینوسی می‌گردد. مقدار بهینه برای A حدود ۰/۷ می‌باشد [۱].



شکل ۳: نمایی از پروفایل مربع سینوسی.

پارامترهای بهینه شونده برای این پروفایل عبارتند از: طول شیپوری بر حسب طول موج (L_h)، عمق اولین شکاف در ناحیه گلوگاه بر حسب طول موج (S_{th})، عمق ثابت شکاف در طول شیپوری بر حسب طول موج (S)، مقدار شکل داده شدگی پروفایل شیپوری (A)، تعداد شیارهای ناحیه گلوگاه (N_{th}), تعداد شیارها در هر طول موج (N), نسبت پهنانی زبانه به شکاف (tsr). حدود بالا و پائین برای هر پارامتر با توجه به منحنی‌های ارائه شده در [۱] انتخاب شده‌اند. با توجه به دقت مورد نیاز برای هر پارامتر آنها را به صورت دودویی گذ نموده‌ایم. جدول (۱) این پارامترها، کرانهای بالا و پائین و تعداد بیتهای هر پارامتر را نشان می‌دهد.

برای بهینه‌سازی شیپوری مرجع [۵] سه طرح در نظر گرفته شده است. در اولین طرح پیشنهادی پروفایل

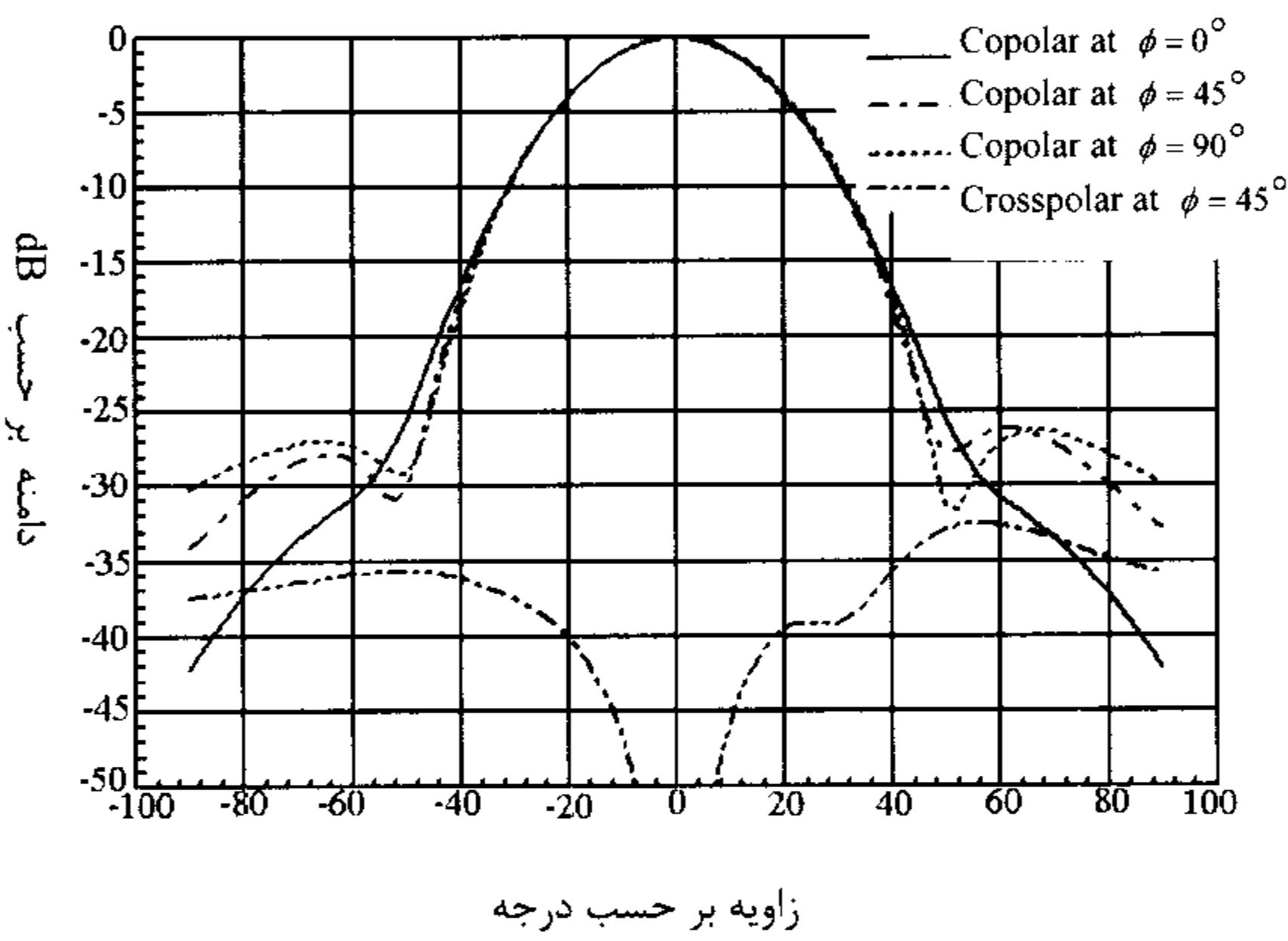
جدول ۱: پارامترهای بهینه شونده و کرانهای بالا و پائین برای طراحی شیپوری شیاردار با پروفایل مربع سینوسی.

پارامترهای بهینه شونده						
L_h	S_{th}	S	A	N_{th}	N	tsr
۱/۴	۰/۳۵	۰/۲۲	۰/۳	۵	۳	۰/۰۲
۲				۱۵	۱۰	۰/۶۵
۱۰				۱۰	۱۰	۱۰

جدول ۲: پارامترهای بهینه شونده و کرانهای بالا و پائین برای بهینه‌سازی شیپوری شیاردار با پروفایل مربع سینوسی.

پارامترهای بهینه شونده						
L_h	S_{th}	S	A	N_{th}	N	tsr
۱/۴	۰/۷۵	۰/۰۲	۰/۳۵	۵	۳	۰/۰۲
۲	۱/۲۵	۰/۴	۰/۵۱	۱۵	۱۰	۰/۵۱
۶				۵	۶	۷

منتقل می شوند. با اختصاص ۳۰ عضو به جمعیت هر نسل بعد از تولید ۳ نسل به طرحی می رسیم که پهنهای نصف توان آن حدود ۳۴ درجه و تلف برگشتی و قطبی شدگی متقطع آن حدود ۳۵ dB- می باشد. بردار پارامترهای بهینه شده به همراه نمایی از آنتن شیپوری حاصله در شکل (۴) دیده می شوند. برای اطمینان از طرح حاصل شده الگوهای تابشی این آنتن یکبار دیگر توسط نرم افزار Ansoft HFSS محاسبه شده اند که در شکل (۵) دیده می شوند. تلف برگشتی این شیپوری در فرکانس ۸/۲ گیگا هرتز توسط نرم افزار Ansoft HFSS ۳۱/۴۶ dB و بیشترین مقدار قطبی شدگی متقطع حدود ۳۲/۵ dB محسوبه شده است.



شکل ۵: الگوهای تابشی بدست آمده توسط نرم افزار Ansoft HFSS برای شیپوری با پروفایل مربع سینوسی.

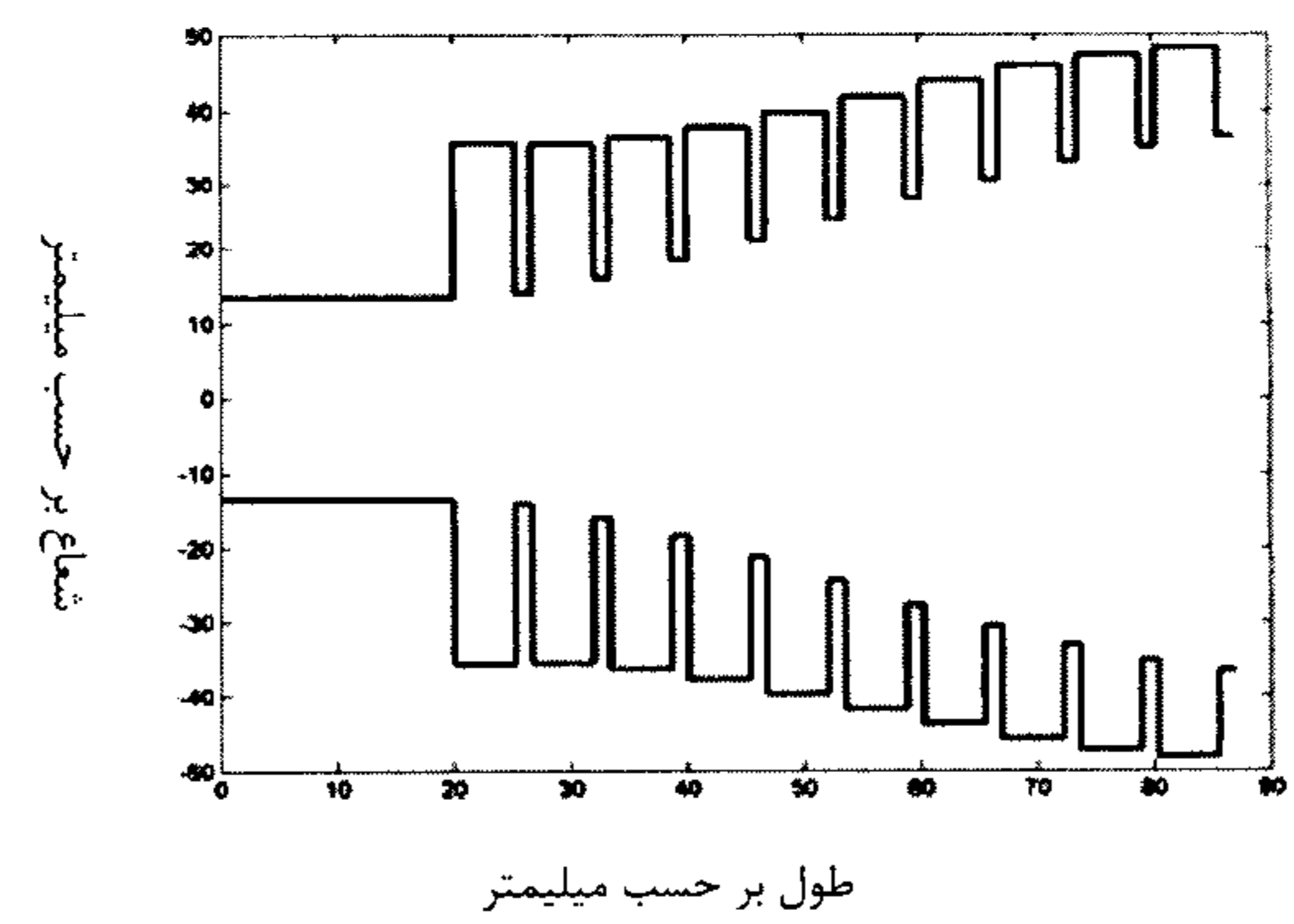
ب- بهبود عملکرد یک آنتن شیپوری شیاردار
در این بخش قصد داریم به یک طراحی بهینه برای آنتنی دست یابیم که قبلاً به روش سعی و خطأ طراحی شده است [۵]. این آنتن جهت روشن کردن یک بازتابنده منحرف از مرکز به قطر ۱/۸ متر در یک ایستگاه زمینی قابل حمل برای ارتباط با ماهواره‌ای در مدار LEO و باند X طراحی شده است. مشخصات مورد نظر در طراحی این آنتن عبارتند از پهنهای نصف توان پرتو برابر ۳۸/۳ درجه، پهنهای پرتو ۱۰ dB- برابر ۶۸/۲ درجه و بهره در جهت محور برابر ۱۴/۲ dB_i. این آنتن در مرجع [۵] با پروفایل خطی طراحی شده و از آنجاییکه الگوی تابشی نسبتاً پهنهی نیاز است از روزنَه کوچک (حدود ۲ برابر طول موج) استفاده شده است. کلاً ۱۵ شیار در طول شیپوری با نسبت پهنهای زبانه به پهنهای شکاف برابر یک وجود دارد که عمق آنها در طول ۱۰ شیار از ۰/۵ λ به ۰/۳ λ کاهش

پروفایل در (۲۰) آمده است. تلف برگشتی و قطبی شدگی متقطع این آنتن در فرکانس ۸/۲ گیگا هرتز باید کمتر از ۳۰ dB- و پهنهای نصف توان پرتو آن حدود ۳۴/۵ درجه باشد. به خاطر وجود مود خالص TE_{11} در موجبر ورودی شعاع ناحیه گلوگاه ۱۳ میلیمتر در نظر گرفته شده است. تابع هدف به گونه‌ای تعریف می شود که بتوان به مشخصات مورد نظر دست یافت. در این حالت تابع هدف به صورت مجموعی از مربع اختلاف بین پهنهای نصف توان با مقدار مطلوب، اختلاف تلف برگشتی با مقدار مورد نظر و اختلاف حداکثر قطبی شدگی متقطع با مقدار تعیین شده، تعریف شده است. رابطه (۲۳) تابع هدف تعریف شده برای این حالت را نشان می دهد.

$$ObjV = 0.5 \times (RL - RL_t) + (XP - XP_t) + 2 \times (W_{3dB} - W_{3dBt})^2 \quad (23)$$

در عبارت فوق RL ، XP و W_{3dB} به ترتیب معرف تلف برگشتی، قطبی شدگی متقطع و پهنهای نصف توان می باشند. زیر نویس t نیز مقدار مطلوب هر مشخصه را نشان می دهد. ضرایب عبارت (۲۳) با چند بار اجرای الگوریتم وراثتی به صورت بهینه انتخاب شده اند. مقدار تلف برگشتی و حداکثر مقدار مؤلفه قطبی شدگی متقطع مورد نظر برای این طراحی ۳۰ dB- در نظر گرفته شده است.

پارامترهای بهینه شده	۰/۸۱۹	۰/۵۱۰۰	۰/۳۲۷۴	۰/۸۲۲۲	۶/۱۱۱۱	۹/۴۴۴۴	۰/۴۹۸۴
----------------------	-------	--------	--------	--------	--------	--------	--------



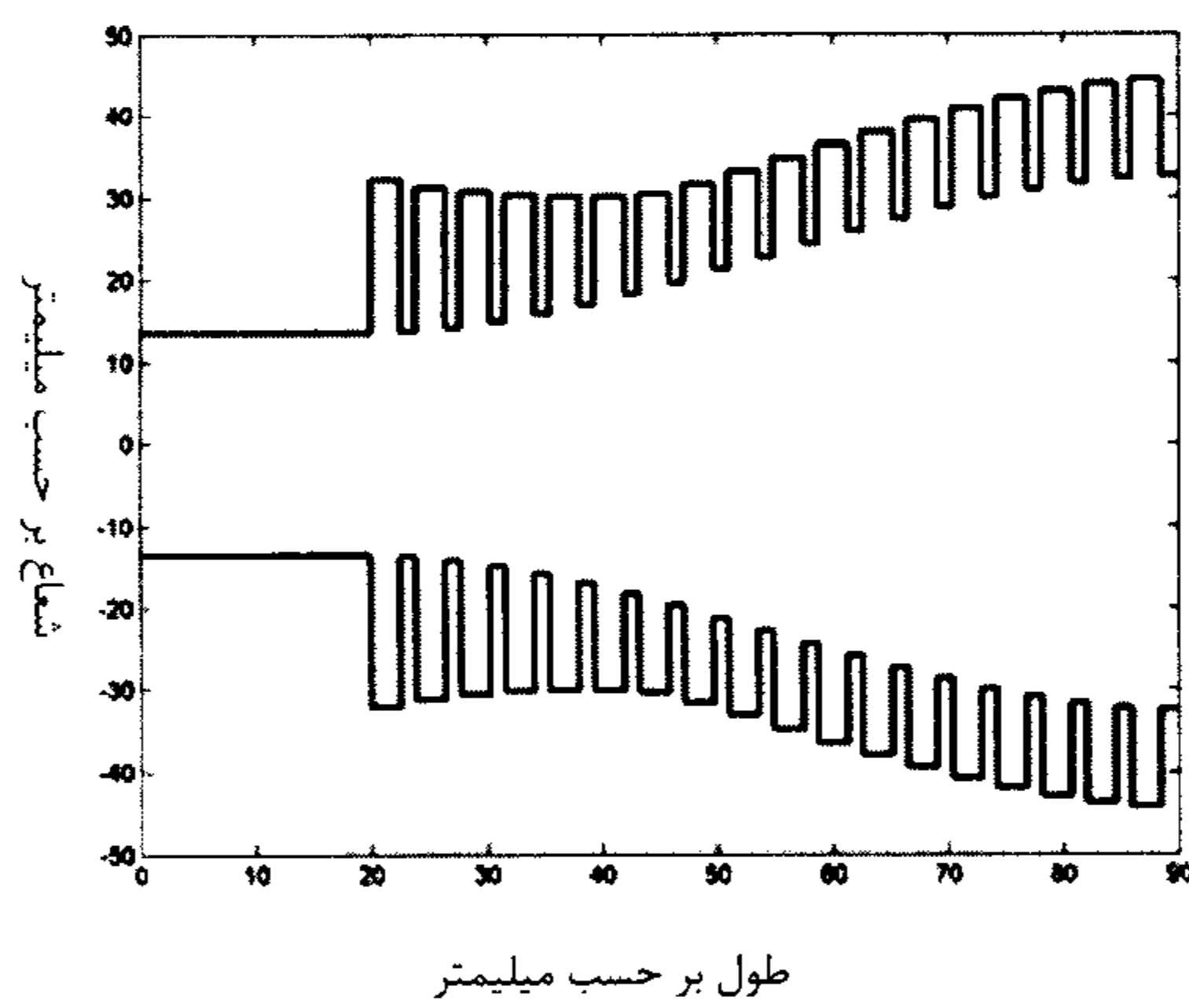
شکل ۶: نمایی از آنتن طراحی شده با پروفایل مربع سینوسی به همراه پارامترهای بهینه شده.

برای اجرای الگوریتم وراثتی احتمال عملگر برش $^{1/8}$ و احتمال عملگر جهش $^{9/0/۰۲۶}$ ۰/۰۲۶ انتخاب شده اند و در تولید هر نسل از ویژگی نخبه گرایی استفاده شده یعنی ۰/۱ از بهترین افراد هر نسل (در اینجا سه عضو) به نسل بعدی

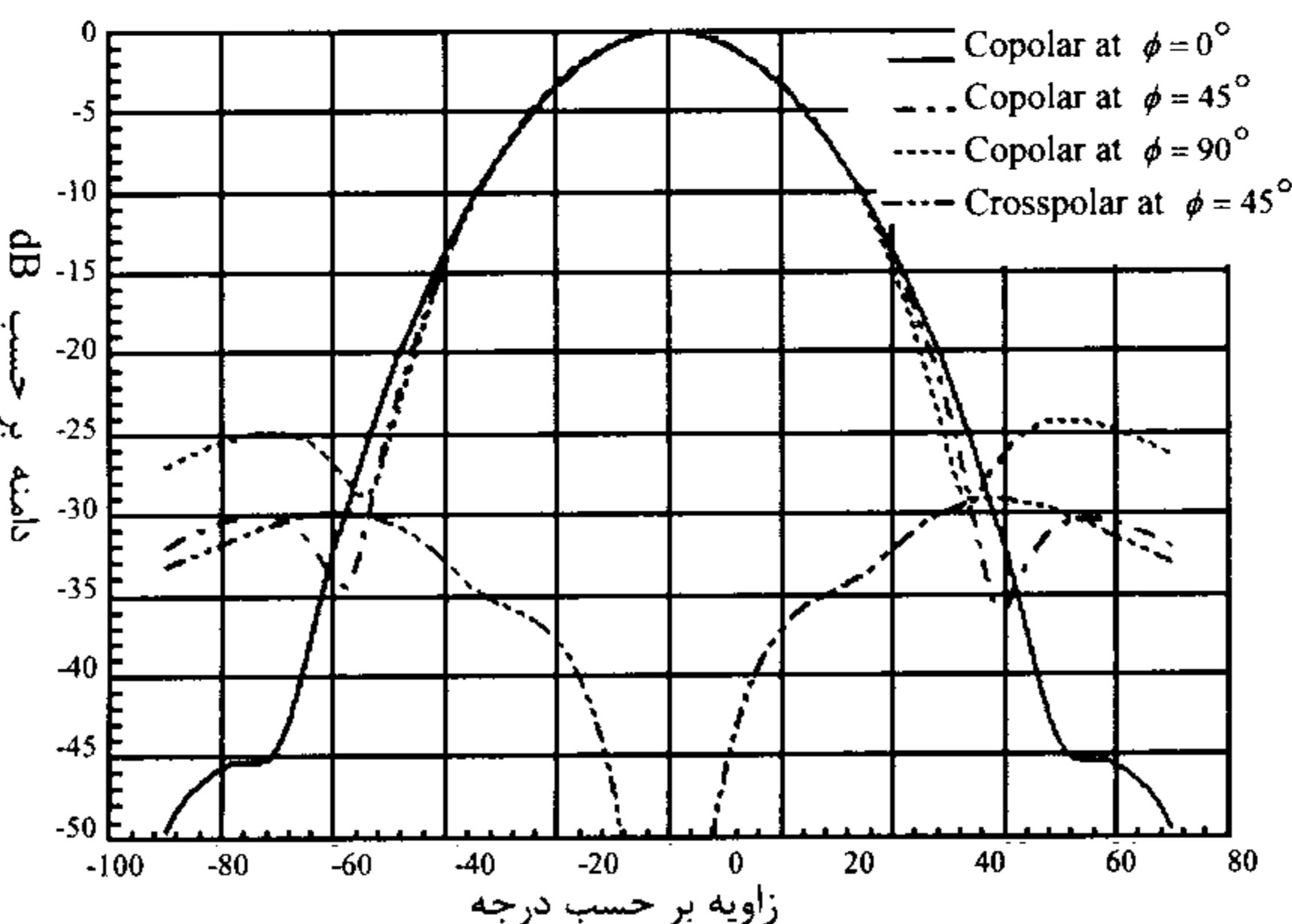
برگشتی این شیپوری در فرکانس مرکزی توسط نرم افزار Ansoft HFSS $41/8 \text{ dB}$ و در کل باند ۸ تا $8/4 \text{ گیگا هertz}$ بدست آمده است. طول شیپوری حدود ۴ میلیمتر بیشتر از طول شیپوری طراحی شده به روش سعی و خطا است. نسبت پهنهای زبانه به پهنهای شکاف نصف شده که نشان دهنده وزن کمتر شیپوری حاصله می‌باشد. تلف برگشتی در فرکانس مرکزی حدود 12 dB و در کل باند حدود 7 dB بهبود یافته در صورتیکه مؤلفه قطبی شدگی متقطع حدود 5 dB بدتر شده است. در حالت دوم یعنی حالت بازشدگی خطی ضرایب تابع هدف کمی با ضرایب تابع عبارت (۲۴) متفاوت می‌باشد. در این حالت تابع هدف به صورت عبارت (۲۵) تعریف می‌شود.

$$\begin{aligned} ObjV = & (RL - RL_t) + (XP - XP_t) + \\ & 4 \times [(W_{10dB} - W_{10dBt})^2 + (W_{3dB} - W_{3dBt})^2] \end{aligned} \quad (25)$$

پارامترهای بهینه شده	۰/۸۱۹	۰/۵۱۰۰	۰/۲۲۷۴	۰/۸۲۲۲	۶/۱۱۱۱	۹/۴۴۴۴	۰/۴۹۸۴	۰/۸۹۲۹



شکل ۶: نمایی از آنتن بهینه شده با پروفایل مربع سینوسی به همراه پارامترهای بهینه شده.



شکل ۷: الگوهای تابشی بدست آمده توسط نرم افزار Ansoft HFSS برای شیپوری با پروفایل مربع سینوسی.

می‌یابد و ۵ شکاف با عمق ثابت $2/3 \text{ mm}$ در قسمت روزنه قرار می‌گیرند. تلف برگشتی این شیپوری در فرکانس مرکزی $8/2 \text{ گیگا هertz}$ $-28/8 \text{ dB}$ و حداکثر مؤلفه قطبی شدگی متقطع -35 dB گزارش شده است. تلف برگشتی این شیپوری از فرکانس ۸ تا $8/4 \text{ گیگا هertz}$ کمتر از $-26/5 \text{ dB}$ محاسبه شده است.

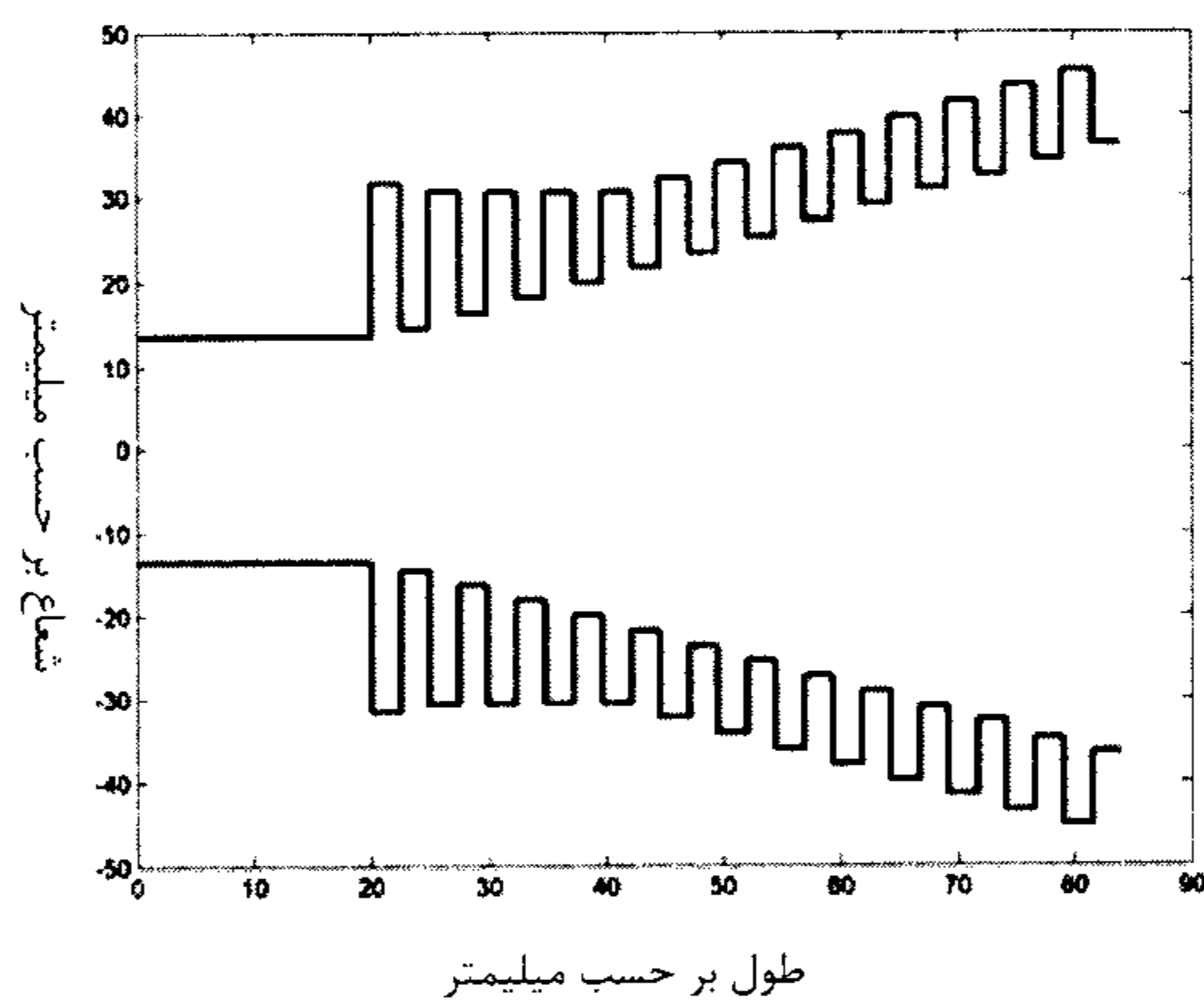
اولین طرح پیشنهادی دارای پروفایل مربع سینوسی است که در آن به خاطر وجود مود خالص TE_{11} در موجبر ورودی، شعاع ناحیه گلوگاه $13/5 \text{ میلیمتر}$ در نظر گرفته شده است. تابع هدف به گونه‌ای تعریف می‌شود که بتوان به مشخصات مورد نظر دست یافت. برای طراحی آنتن شیپوری با پروفایل مربع سینوسی تابع هدف به صورت مجموعی از مربع اختلاف بین پهنهای نصف توان با مقدار مطلوب، مربع اختلاف پهنهای 10 dB با مقدار مطلوب، اختلاف تلف برگشتی با مقدار مورد نظر و اختلاف حداکثر قطبی شدگی متقطع با مقدار تعیین شده، تعریف شده است. رابطه (۲۴) تابع هدف تعریف شده برای این حالت را نشان می‌دهد.

$$\begin{aligned} ObjV = & 0.5 \times (RL - RL_t) + 4 \times (XP - XP_t) + \\ & 3 \times [(W_{10dB} - W_{10dBt})^2 + (W_{3dB} - W_{3dBt})^2] \end{aligned} \quad (24)$$

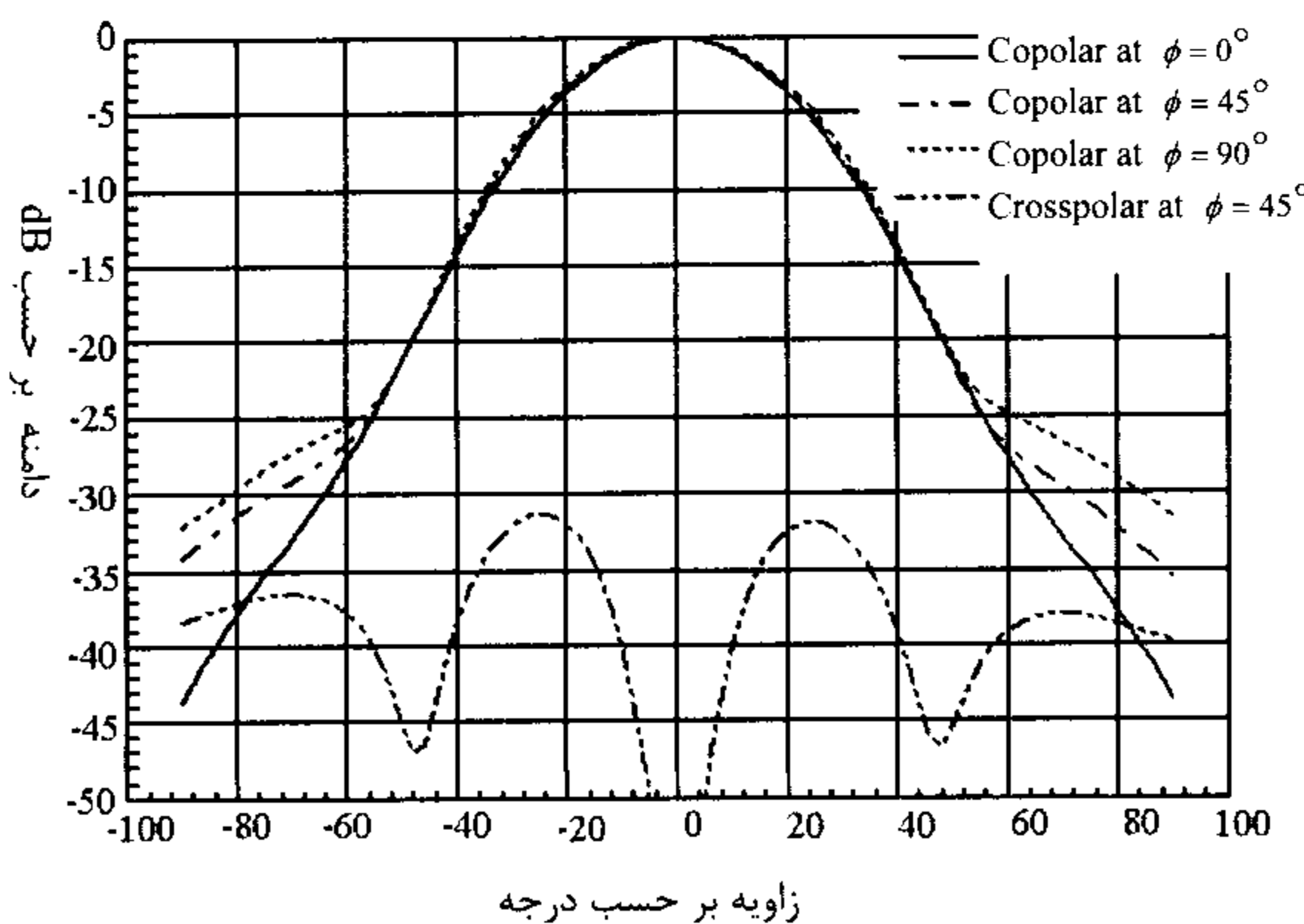
مقدار تلف برگشتی و حداکثر مقدار مؤلفه قطبی شدگی متقطع مورد نظر برای این طراحی -35 dB در نظر گرفته شده است. برای اجرای الگوریتم وراثتی احتمال عملگر برش $0/85$ و احتمال عملگر جهش $0/175$ انتخاب شده‌اند. با اختصاص 40 عضو به جمعیت هر نسل بعد از تولید 100 نسل به طراحی مورد نظر می‌رسیم. مانند قبل در تولید هر نسل از ویژگی نخبه‌گرایی استفاده شده یعنی $1/1$ از بهترین افراد هر نسل (در اینجا چهار عضو) به نسل بعدی منتقل می‌شوند. پارامترهای بهینه شده به همراه نمایی از آنتن شیپوری حاصله در شکل (۶) دیده می‌شوند. تلف برگشتی و قطبی شدگی متقطع در فرکانس مرکزی به ترتیب کمتر از -47 dB و -35 dB بدست آمده است. از آنجاییکه نتایج گزارش شده از شبیه سازی آنتن طراحی شده در [۵] توسط نرم افزار HFSS محاسبه شده است، ما نیز جهت مقایسه، طراحی خود را با نرم افزار مذکور شبیه سازی نموده‌ایم که در شکل (۷) الگوهای تابشی و در شکل (۸) بهره محاسبه شده این شیپوری توسط نرم افزار Ansoft HFSS نشان داده شده‌اند. تلف

پارامترهای الگوریتم و راثتی مشابه حالت باز شدگی خطی انتخاب شده‌اند. نمایی از ساختار آنتن بهینه شده به همراه آنتن اصلی در شکل (۱۲) نشان داده شده است. دیده می‌شود که در این حالت هیچ نظمی بین شیارهای مجاور وجود ندارد. در شکل (۱۳) الگوهای تابشی و در شکل (۱۴) بهره محاسبه شده این شیپوری توسط Ansoft HFSS نشان داده شده است. تلف برگشتی این شیپوری در فرکانس مرکزی توسط نرم افزار ذکر شده $-45/8 \text{ dB}$ و در کل باند کمتر از -33 dB محاسبه شده است. طول شیپوری حدود ۱۶ میلیمتر کوتاهتر شده است. تلف برگشتی در فرکانس مرکزی حدود 16 dB و در کل باند حدود 7 dB بهبود یافته در صورتیکه مؤلفه قطبی شدگی متقطع حدود 3 dB بدتر شده است.

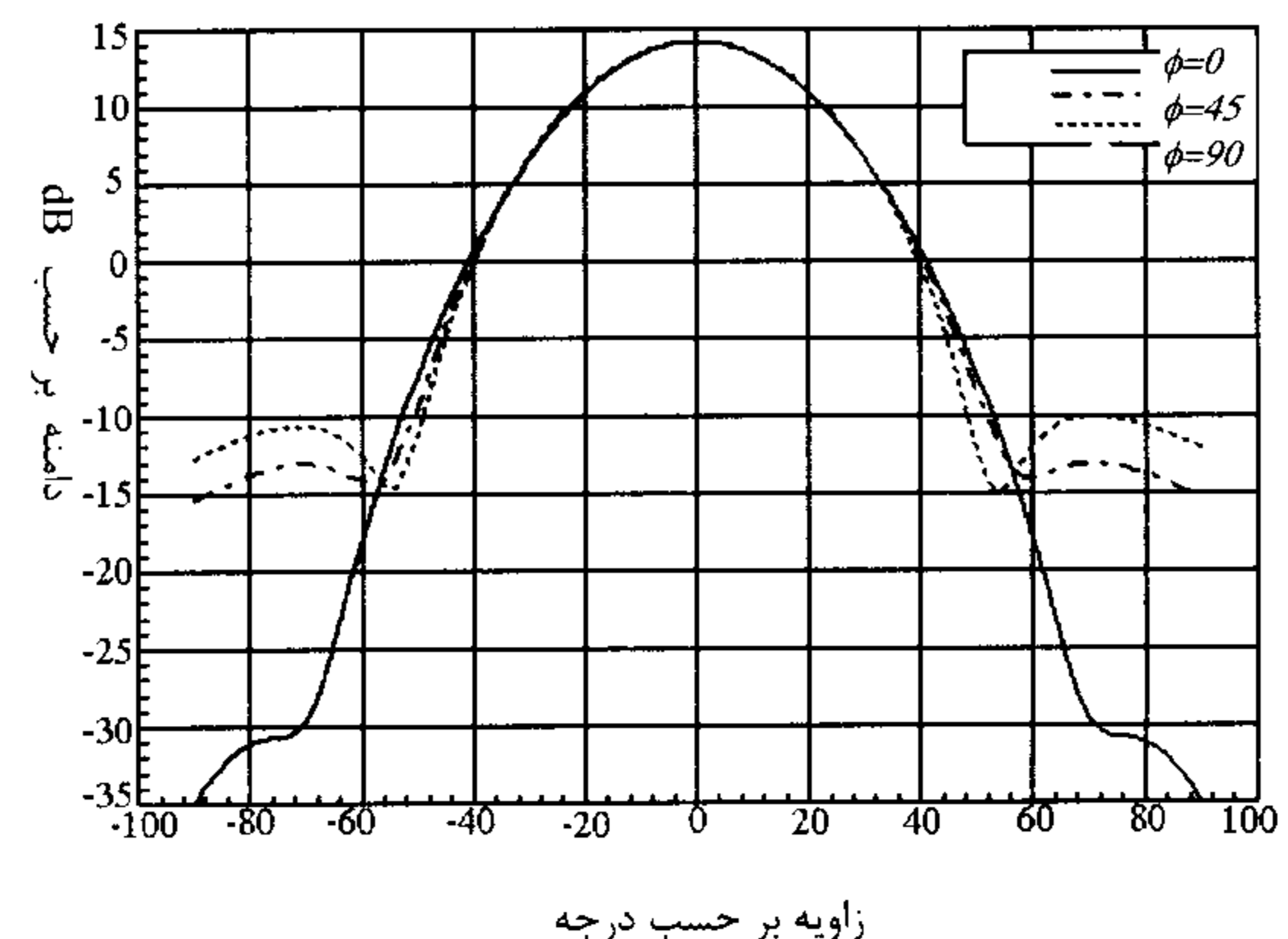
۱/۶۱۹۰	.۰/۴۹۵۲	.۰/۲۸۸۷	۵/۳۱۷۵	۷/۴۴۴۴	.۰/۹۳۸۳	.۰/۹۹۶۰
پارامترهای بهینه شده						



شکل ۹: نمایی از آنتن طراحی شده با بازشدگی خطی به همراه پارامترهای بهینه شده.



شکل ۱۰: الگوهای تابشی بدست آمده توسط نرم افزار Ansoft HFSS برای شیپوری با بازشدگی خطی.

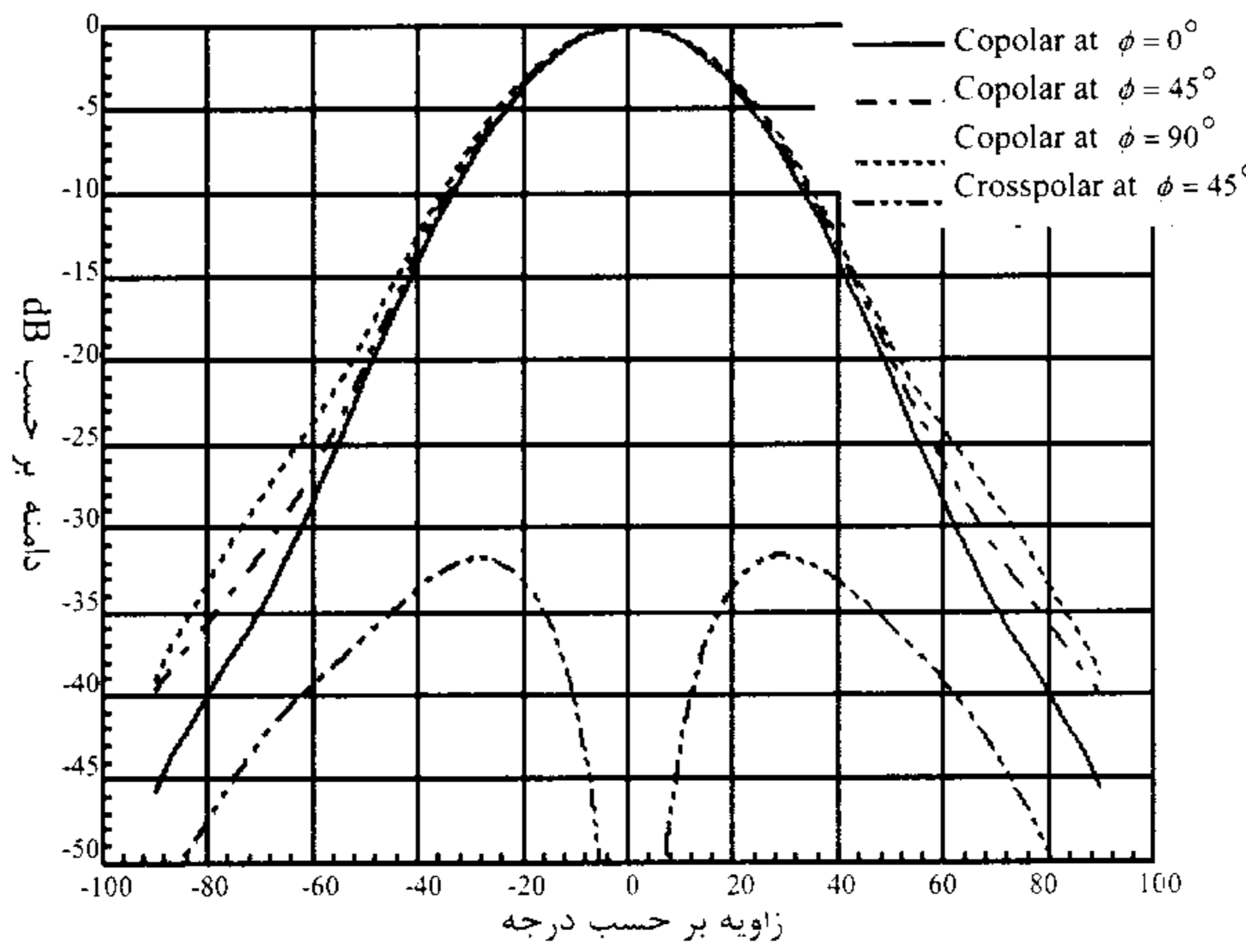


شکل ۸: بهره محاسبه شده توسط نرم افزار برای شیپوری با پروفایل مربع سینوسی.

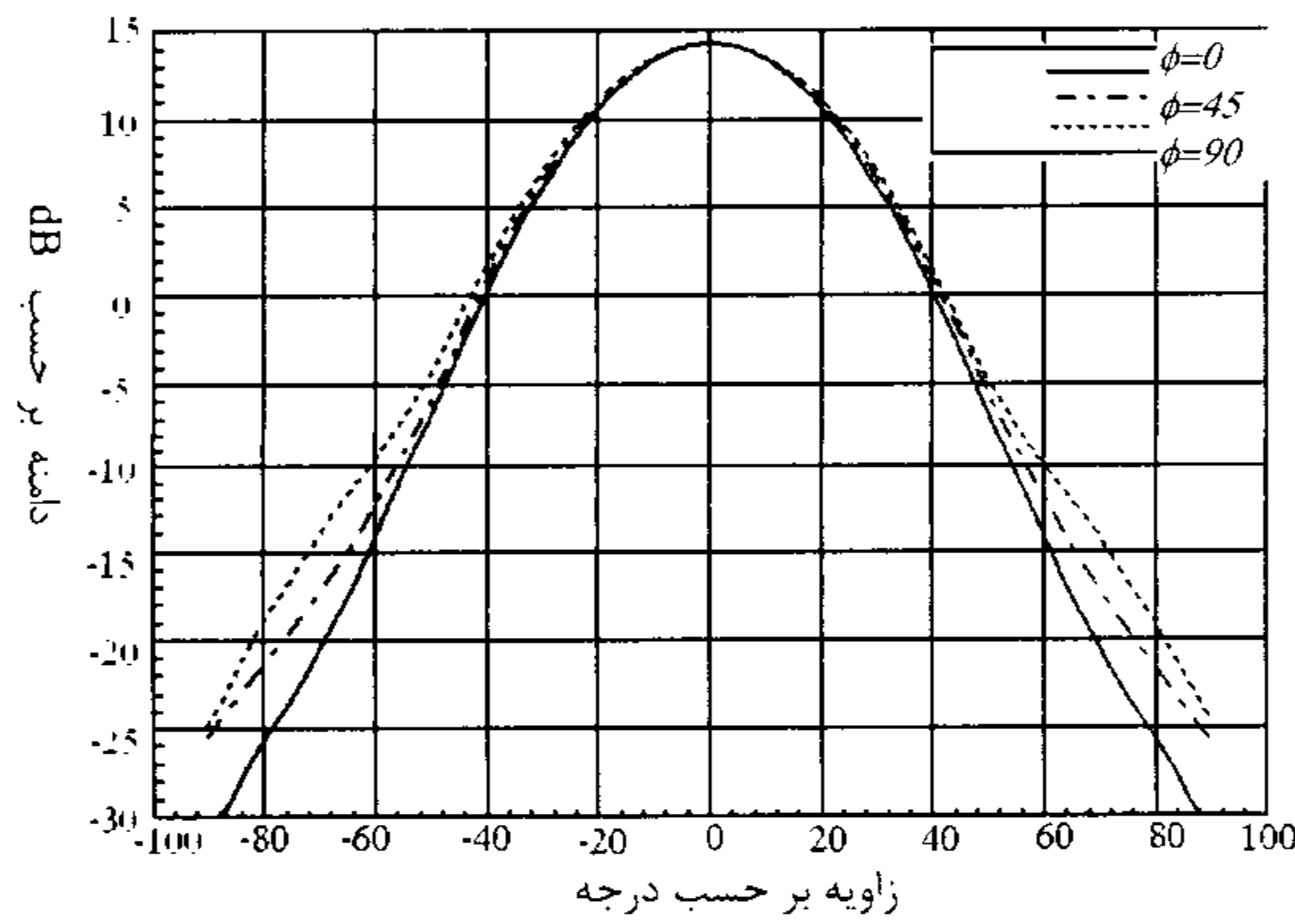
برای اجرای الگوریتم و راثتی احتمال عملگر برش $0/85$ و احتمال عملگر جهش $0/20$ در نظر گرفته می‌شوند. تعداد جمعیت هر نسل 40 تا و تعداد تولید نسلها 70 نسل انتخاب می‌شود. مانند حالت قبل از ویژگی نخبه گرایی نیز استفاده شده است. بردار پارامترهای بهینه شده به همراه نمایی از شیپوری حاصله در شکل (۹) دیده می‌شوند. تلف برگشتی این شیپوری و مؤلفه قطبی شدگی متقطع‌اش در فرکانس مرکزی به ترتیب -46 dB و -34 dB بدست آمده است. در شکل (۱۰) الگوهای تابشی و در شکل (۱۱) بهره این شیپوری که توسط Ansoft HFSS محاسبه شده‌اند، نشان داده شده است. تلف برگشتی این شیپوری در فرکانس مرکزی توسط نرم افزار Ansoft HFSS $-39/2 \text{ dB}$ و در کل باند $8/4$ تا $8/4$ گیگا هرتز کمتر از -33 dB بدست آمده است. طول شیپوری حدود ۷ میلیمتر کمتر از طول شیپوری طراحی شده به روش سعی و خطا است. نسبت پهنهای زبانه به پهنهای شکاف به مقدار جزئی کم شده و در مجموع می‌توان گفت وزن شیپوری حاصله کمتر شده است. تلف برگشتی در فرکانس مرکزی حدود 11 dB و در کل باند حدود 7 dB بهبود یافته در صورتیکه مؤلفه قطبی شدگی متقطع حدود 3 dB بدتر شده است.

برای حالت سوم تابع هدف به صورت عبارت (۲۶) تعریف می‌شود. که ضرایب آن با دو مورد قبلی اندکی اختلاف دارند.

$$\begin{aligned} ObjV = & 0.5 \times (RL - RL_t) + 2 * (XP - XP_t) + \\ & 5 \times [(W_{10dB} - W_{10dB_t})^2 + (W_{3dB} - W_{3dB_t})^2] \end{aligned} \quad (26)$$

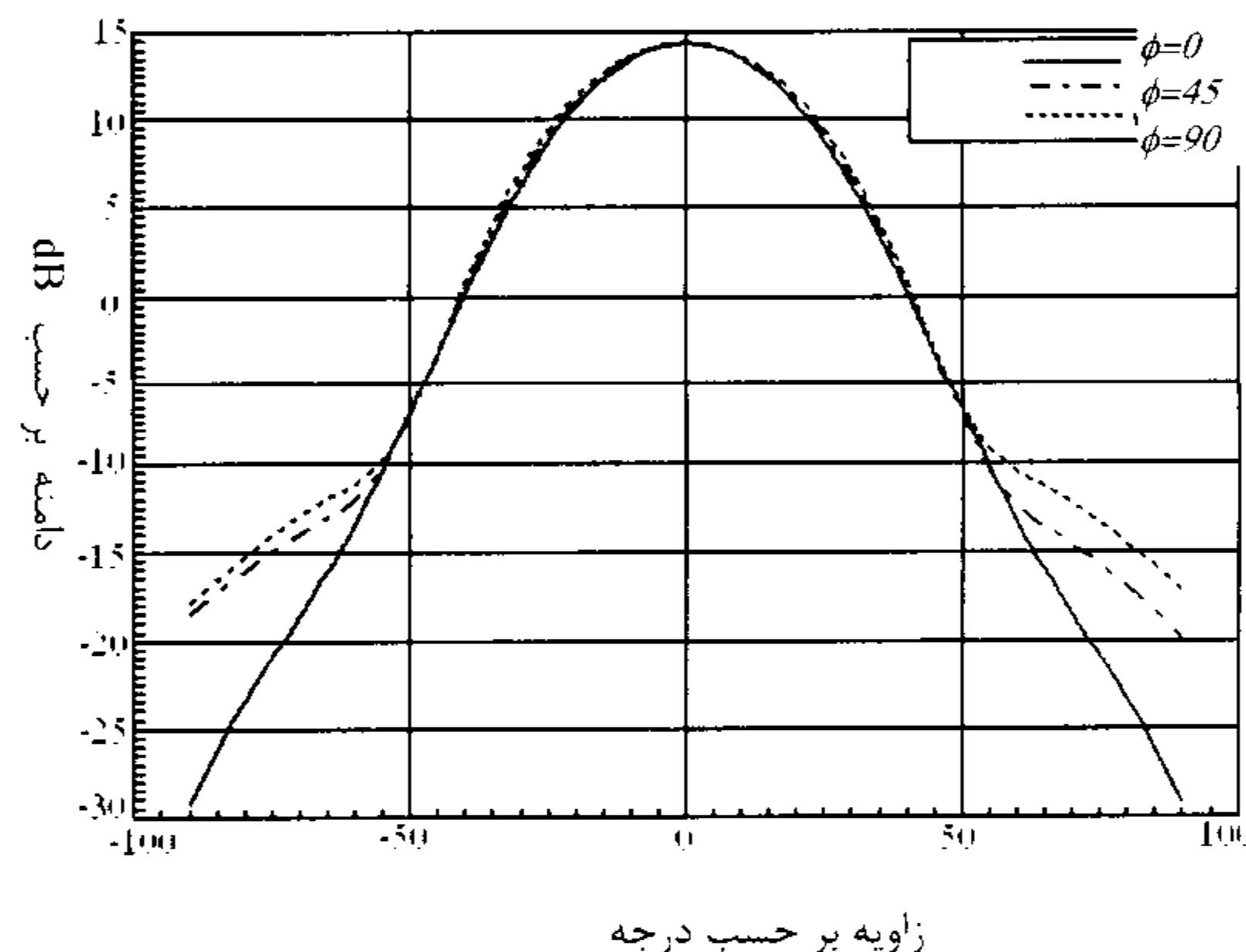


شکل ۱۳: الگوهای تابشی بدست آمده توسط نرم افزار Ansoft HFSS برای شبیوری با ساختار نامنظم شیارها.

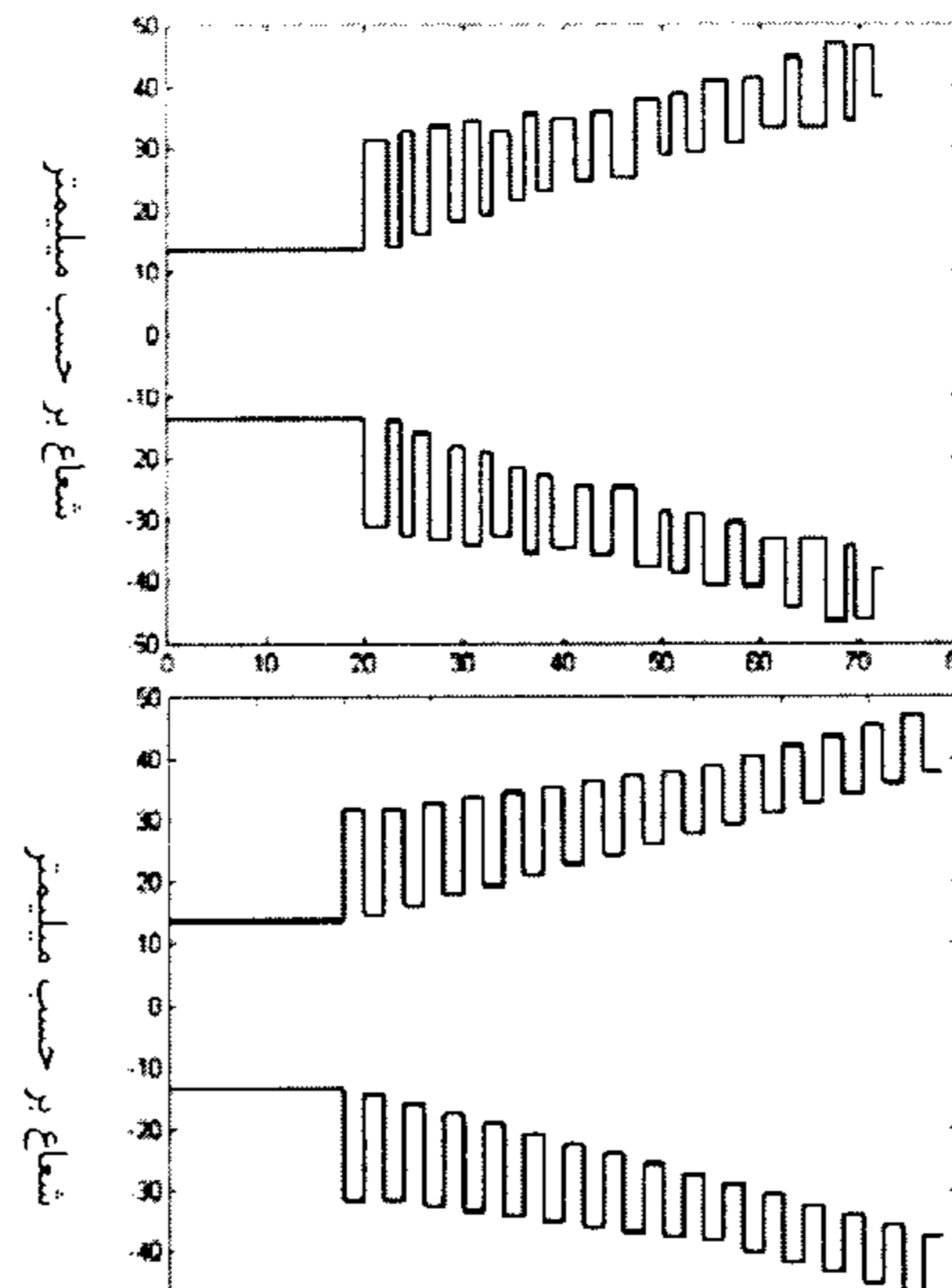


شکل ۱۴: بهره محاسبه شده توسط نرم افزار Ansoft HFSS برای شبیوری با ساختار نامنظم شیارها.

در جدول (۳) مهمترین مشخصات سه شبیوری بهینه شده و شبیوری مرجع [۵] بهمراه برخی ویژگی‌های الکترومغناطیسی آنها جهت مقایسه آورده شده‌اند. دیده می‌شود که در هر سه شبیوری بهینه شده تلف برگشتی، که مهمترین فاکتور طراحی می‌باشد، تا حد قابل مقایسه‌ای بهبود یافته است. هر چند مقدار قطبی شدگی متقطع اندکی افزایش یافته ولی هنوز هم در بازه خوبی قرار دارد. از نظر ساخت مکانیکی نیز شبیوری بهینه شده با بازشدنگی خطی بدلیل طول و تعداد شیار کمتر بر دو شبیوری دیگر مزیت دارد. به نظر می‌رسد علی‌رغم افزایش انداک طول شبیوری با پروفایل مربع سینوسی بدلیل کمترین نسبت پهنه‌ای زبانه به پهنه‌ای شکاف از شبیوری مرجع [۵] سبکتر باشد.



شکل ۱۱: بهره محاسبه شده توسط نرم افزار Ansoft HFSS برای شبیوری با باز شدنگی خطی.



طول بر حسب میلیمتر

شکل ۱۲: نمایی از آنتن بهینه شده با ساختار نامنظم (بالا) و آنتن بهینه نشده مربوطه (پائین).

نتیجه گیری

در این مقاله به کمک روش تطبیق مودی و استفاده از الگوریتم وراثتی روش طراحی بهینه یک شبیوری توضیح داده شد. برای این منظور مهمترین پارامترهای یک شبیوری شیاردار جهت بهینه سازی معرفی شدند. و با توجه به روش ارائه شده، سه طرح بهینه برای یک شبیوری بدست آمد که قبلاً به روش متعارف طراحی شده بود. در این سه طرح قدرت الگوریتم وراثتی در بهینه سازی عملکرد آنتن شبیوری به خوبی دیده می‌شود. هم عملکرد الکترومغناطیسی و هم مشخصات مکانیکی آنتن بهینه شده با بازشدنگی خطی از آنتن مورد نظر بهتر است.

جدول ۳ : مقایسه شیپوریهای بهینه شده با شیپوری مرجع [۵].

شیپوری بهینه شده با ساختار نامنظم	شیپوری بهینه شده با بازشدگی خطی	شیپوری بهینه شده با پروفایل مربع سینوسی	شیپوری مرجع [۵]	
۵۲	۶۲/۸	۶۹/۷	۶۸/۴	طول بر حسب میلیمتر
۱۵	۱۳	۱۸	۱۵	تعداد کل شیارها
-	۵/۳۱۷	۶/۱۱۱	۱۰	تعداد شیارهای ناحیه گلوگاه
-	۷/۴۴۴	۹/۴۴۴	۸	تعداد شیارها در هر طول موج
-	۰/۹۳۸	۰/۴۹۸	۱	نسبت پهنای زبانه به شکاف
-	۰/۴۹۵	۰/۵۱	۰/۵	عمق اولین شیار (بر حسب λ)
-	۰/۲۸۸	۰/۳۲۷	۰/۳	عمق آخرین شیار (بر حسب λ)
-۴۵/۸	-۳۹/۲	-۴۱/۸	-۲۸/۸	تلف برگشتی در فرکانس مرکزی dB
-۳۳	-۳۳	-۳۳	-۲۶/۵	حداکثر تلف برگشتی در کل باند dB
-۳۲	-۳۰	-۳۲	-۳۵	مؤلفه قطبی شدگی متقطع dB

مراجع

- 1 – Clarricoats, P. J. and Olver, A. D. (1984). "Corrugated horns for microwave antennas." *Peter Peregrinus IEE, Ltd.*
- 2 - Granet, C., Bird, T. S. and James, G. L. (2000). "Compact multimode horn with low side lobes for global earth coverage." *IEEE Trans.*, Vol. AP48, No. 7, PP. 1125-1133.
- 3 - Olver, A. D., Clarricoats, P. J. B., Kishk, A. A. and Shafai, L. (1994). "Microwave horn and feeds." *IEEE Press*.
- 4 - Rahmat-Samii, Y. and Michielssen, R. (1999). *Electromagnetic optimization by Genetic Algorithms*. Wiley, New York.
- 5 - Bayat, A. R. and Khaleghi, A. (2003). "Design and implementation of x-band corrugated feed horn for offset reflector antenna." *Int'l Symposium on Telecommunications (IST)*, 16-18 August, 2003, Isfahan-Iran.
- 6 - James, G. L. (1981). "Analysis and design of TE11- to - HE11 corrugated cylindrical waveguide mode converters." *IEEE Trans.*, Vol. MTT29, No. 10, PP. 1059-1066.
- 7 - Wexler, A. (1967). "Solution of waveguide discontinuities by modal analysis." *IEEE Trans.*, Vol. MTT-15, PP. 508-517.
- 8 - Lucci, L., Nesti, R., Pelosi, G. and Selleri, S. (2002). "Parallel genetic algorithms for the design of profiled corrugated circular horns." *International symposium on Antennas*, Jina.
- 9 - Sinton, S., Robinson, J. and Rahmat-Samii, Y. (2002). "Standard and micro genetic algorithm optimization of profiled corrugated horn antennas." *Microwave & Optical Technology Letters*, Vol. 35, No. 6, PP. 449-453.
- 10 - Jamnejad, V., Hoorfar, A. and Manshadi, F. (2002). "Evolutionary design of corrugated horn antennas." *International symposium on Antennas*, Jina.
- 11 – Skobelev, S. P. and Bon Jun Ku. (2000). "Optimum geometry and performance of a dual-mode horn modification." *IEEE Antennas and Propagation Magazine*, Vol. 43, No. 1.
- 12 – James, G. L. (1983). "On the problem of applying mode-matching techniques in analyzing conical waveguide discontinuities." *IEEE Trans.*, Vol. MTT-31, No. 9, PP. 718 –723.

- 13 - Manring, E. B. and Asmussen, J. (1993). "Useful Bessel function identities and integrals." *IEEE Trans.*, Vol. MTT-41, No. 8, PP. 1468-1471.
- 14 - Gradshteyn, I. S. and Ryzhik, I. W. (1965). *Tables of Integrals, Series and Products*. New York, Academic, PP. 634.
- 15 - Balanis, C. A. (1982). *Antenna Theory : Analysis and Design*. New York, Harper & Row, Publishers.
- ۱۶ - فائزی، ه. و راشد محصل، ج. "بهبود عملکرد آنتن شبپوری شیاردار به کمک الگوریتم وراثتی." دوازدهمین کنفرانس مهندسی برق ایران، مشهد، اردیبهشت، (۱۳۸۳).
- ۱۷ - فائزی، ه. و راشد محصل، ج. "بهبود عملکرد آنتن شبپوری شیاردار به کمک الگوریتم وراثتی و تطبیق مودی." پایان نامه کارشناسی ارشد، دانشگاه تهران، (۱۳۸۲)

واژه‌های انگلیسی به ترتیب استفاده در متن

-
- 1 - Horn Antennas
 - 2 - Genetic Algorithm
 - 3 - Offset Reflector
 - 4 - Mode Matching
 - 5 - Wexler
 - 6 - James
 - 7 - Profile
 - 8 - Crossover
 - 9 - Mutation